



بررسی قابلیت ماشینکاری قطعات متالورژی پودر خام و تفجوشی شده آهن/چدن آسیاب پاششی شده

هادی عبدالله^{۱*}، روح الله پناهی لیاولی^۲، رمضانعلی مهدوی نژاد^۳، وحید زال^۴

- استادیار، مهندسی مکانیک، دانشگاه صنعتی ارومیه، ارومیه
- مریم، مهندسی مکانیک، دانشگاه فنی و حرفه ای، تهران
- دانشیار، مهندسی مکانیک، دانشگاه تهران، تهران
- دانشجوی دکترا، مهندسی مکانیک، دانشگاه تربیت مدرس، تهران
- * ارومیه، صندوق پستی ۵۷۱۵۵-۴۱۹ habdollahi@ut.ac.ir

چکیده

در این تحقیق به بررسی قابلیت ماشینکاری قطعات متالورژی پودر خام و تفجوشی شده آهن-چدن خاکستری بازیابی شده پرداخته می‌شود. برای این منظور برآدهای چدن خاکستری با استفاده از روش آسیاب پاششی تبدیل به پودر شده و در ترکیب با پودر آهن تجاری برای تهیه قطعات متالورژی پودر مورد استفاده قرار گرفتند. خشته‌های خام با متغیرهای درصد پودر چدن و فشار تراکم تهیه شدند. برای قطعات تفجوشی شده نیز طراحی آزمایش با روش رویه پاسخ و با متغیرهای درصد پودر چدن، فشار تراکم، دمای تفجوشی و زمان تفجوشی و هر کدام در پنج سطح انجام شد. تحلیل‌های رگرسیون و واریانس برای بررسی تأثیر پارامترهای ورودی، ارائه مدل‌های ریاضی و ارزیابی صحت مدل‌ها به کار رفته‌اند. در بخش خام قابلیت ماشینکاری در عملیات سوراخکاری به صورت کیفی مورد بررسی قرار گرفت. در قطعات تفجوشی شده نیز قابلیت ماشینکاری از طریق اندازه‌گیری نیروهای محوری و گشاوری و زیری سطح حاصل از عملیات سوراخکاری بررسی شد. نتایج بدست آمده صحت معادلات رگرسیون استخراجی برای پیش‌بینی خواص ماشینکاری این قطعات را تأیید کرد. همچنین، نتایج نشان دادند که افزوندن پودر چدن خاکستری به دست آمده از روش آسیاب پاششی باعث بهبود قابلیت ماشینکاری قطعات متالورژی پودر پایه آهنی می‌شود.

اطلاعات مقاله

- | | |
|-------------------------|----------------------------|
| مقاله پژوهشی کامل | دریافت: ۲۲ اسفند ۱۳۹۲ |
| پذیرش: ۱۲ اردیبهشت ۱۳۹۳ | ارائه در سایت: ۰۶ مهر ۱۳۹۳ |
| کلید واژگان: | قابلیت ماشینکاری |

- | | |
|---------------|-------------|
| تفجوشی | آسیاب پاششی |
| متالورژی پودر | چدن خاکستری |

Investigation of machinability of green and sintered iron-jet milled cast iron powder metallurgy parts

Hadi Abdollahi^{1*}, Rouhollah Panahi Leavoli², Ramezan Ali Mahdavinejad³, Vahid Zal⁴

- 1- Department of Mechanical Engineering, Urmia University of Technology, Urmia, Iran.
 2- Department of Mechanical Engineering, Technical and Vocational University, Tehran, Iran.
 3- Department of Mechanical Engineering, University of Tehran, Tehran, Iran.
 4- Department of Mechanical Engineering, Tarbiat Modares University, Tehran, Iran.
 * P.O.B. 57155-419 Urmia, habdollahi@ut.ac.ir

ARTICLE INFORMATION

Original Research Paper
 Received 13 March 2014
 Accepted 02 May 2014
 Available Online 28 September 2014

Keywords:
 Machinability
 Sintering
 Jet Milling
 Powder Metallurgy,
 Grey Cast Iron

ABSTRACT

In this research, the machinability of iron-recycled grey cast iron powder metallurgy parts is investigated. For this purpose, grey cast iron swarfs were transformed to powders by target jet milling method and were then used to prepare powder metallurgy parts in combination with commercial iron powder. Green compacts were prepared with the variables of cast iron powder percentage and compaction pressure. Design of experiments was conducted by response surface method for sintered parts with the variables of cast iron powder percentage, compaction pressure, sintering temperature and sintering time each in five levels. Regression analysis and analysis of variance were used to investigate the effect of input parameters, develop the mathematical models and evaluate the validity of the models. In the green section, machinability was qualitatively investigated in drilling. For sintered parts, machinability was evaluated by measuring the thrust and torque forces and the obtained surface finish in drilling. The obtained results certificated the accuracy of the extracted regression equations for predicting the machining properties of the parts. Also, the results demonstrated that the addition of jet milled grey cast iron improves the machinability of iron-based powder metallurgy parts.

صنعت متالورژی پودر مزایابی از جمله صرفه اقتصادی را به همراه دارد. در این بین برآدهای چدن خاکستری به دلیل مقادیر بالای تولید، قیمت پایین،

۱- مقدمه

بازیابی برآدهای ماشینکاری و تبدیل آنها به پودرهای قابل استفاده در

برای ارجاع به این مقاله از عبارت ذیل استفاده نمایید:

H. Abdollahi, R. Panahi Leavoli, R. Mahdavinejad, V. Zal, Investigation of machinability of green and sintered iron-jet milled cast iron powder metallurgy parts , *Modares Mechanical Engineering*, Vol. 14, No. 11, pp. 59-67, 2014 (In Persian)

Please cite this article using:

ماشینکاری بر روی 40 الی 50 درصد از قطعات تولید شده به روش متالورژی پودر به کار بوده می‌شود، لذا لزوم بررسی قابلیت ماشینکاری در این دسته از قطعات نمایان تر می‌شود[13].

در بین عملیات ماشینکاری مختلف، سوراخکاری بنا به دلایلی از جمله سریع بودن، هزینه پایین و تکرارپذیری به طور قابل توجهی برای تعیین قابلیت ماشینکاری قطعات به کار می‌رود. همچنین، با توجه به اینکه در این عملیات شکل و اندازه قطعه محدود نبنتد نیست، در بررسی قابلیت ماشینکاری قطعات متالورژی پودر نیز پرکاربرد است. علاوه‌بر این، گزارش شده است که آزمایش سوراخکاری نسبت به تغییرات کوچک ریزساختاری مواد حساسیت بالاتری دارد[12]. قابلیت ماشینکاری در خشته‌های خام متالورژی پودر اغلب از طریق اندازه‌گیری زبری سطح حاصل و همچنین بررسی یکپارچگی لبه‌های سوراخ ایجاد شده در عملیات سوراخکاری مورد ارزیابی قرار می‌گیرد[14]. در یک تحقیق انجام گرفته توسط پرون و همکاران[15]، قابلیت ماشینکاری خشته‌های خام آلیاژ پایه آهنی با این روش ارزیابی شده و شرایط برش بهینه برای حصول سوراخ‌هایی با لبه‌های یکپارچه به دست آمد. همچنین، اعلام شد که تغییرات ابعادی ناشی از تف‌جوشی در سوراخ قطعه، برای قطعاتی که ماشینکاری خام شده‌اند با قطعاتی که سوراخ موردنظر در حین تراکم ایجاد شده، برابر است. زامپا و همکاران[16]، نیز به بررسی قابلیت ماشینکاری قطعات تف‌جوشی شده متالورژی پودر پایه آهنی کم آلیاژ در عملیات سوراخکاری پرداخته و تأثیر پارامترهای مختلف از قبیل جنس ابزار برش و شرایط برش بر روی یکپارچگی لبه‌های سوراخ‌های ماشینکاری شده را بررسی کردند.

در این تحقیق، براده‌های ماشینکاری چدن خاکستری از طریق فرایند آسیاب پاششی تبدیل به پودر شده و سپس در ترکیب با پودر آهن، قطعات خام و تف‌جوشی شده با پارامترهای ساخت مختلف تهیه می‌شوند. پس از اثبات ویژگی‌های فیزیکی و مکانیکی مناسب به همراه صرفه‌های اقتصادی بسیار بالا برای این دسته از قطعات در تحقیقات گذشته، اکنون قابلیت ماشینکاری آن‌ها از حیث تأثیر پارامترهای ساخت مختلف و همچنین بررسی اثر گرافیت باقیمانده در ساختار قطعات تف‌جوشی شده بر روی نیروهای ماشینکاری و زبری سطح حاصل، مورد ارزیابی قرار می‌گیرد. برای این منظور ابتدا قابلیت ماشینکاری خشته‌های خام مورد بررسی کیفی قرار گرفته و سپس با استفاده از روش‌های رویه پاسخ، تحلیل رگرسیون² و واریانس³ قابلیت ماشینکاری قطعات تف‌جوشی شده نیز بررسی می‌شود.

2- طراحی و انجام آزمایش

2-1- طراحی آزمایش

روش رویه پاسخ⁴، به عنوان یکی از روش‌های طراحی آزمایش، مجموعه‌ای از روش‌های ریاضی و آماری است که برای ایجاد توابع ریاضی به منظور یافتن رابطه منطقی بین پارامترهای ورودی و خروجی و بهینه‌سازی فرایندهای تولید مختلف، از جمله متالورژی پودر، به کار می‌رود [18,17]. در این تحقیق آزمایش‌ها براساس طرح مرکزی⁵ پنج سطحی روشن رویه پاسخ طراحی شدند. متغیرهای ورودی فرایند و سطوح طراحی آزمایش همراه با مقادیر کد شده و واقعی متغیرها در جدول 1 آمده است.

2- Regression analysis

3- Analysis Of Variance (ANOVA)

4- Response Surface Method (RSM)

5- Central Composite Design (CCD)

شکنندگی، اندازه کوچک براده و عدم آلدگی به روانکار، دارای پتانسیل بالایی برای این کار هستند[1]. برای تبدیل براده‌های چدن خاکستری به پودر، اغلب از روش‌های مکانیکی از قبیل آسیاب گلوله‌ای[2]، آسیاب چکشی[3] و آسیاب لرزشی[4] استفاده می‌شود، اما این روش‌ها زمان بر بوده و نیاز به عملیات ثانویه آنلینینگ بر روی پودرها دارند. همچنین، خواص مکانیکی خشته‌های خام تولید شده از این پودرها به دلیل ویژگی‌های خاص آن‌ها ضعیف بوده و بر روی خواص پس از تف‌جوشی نیز تأثیر می‌گذارد[5]. اخیراً، یک روش جدید آسیاب به نام آسیاب پاششی¹ ارائه شده است[6]. که در آن براده‌های چدن خاکستری با سرعت بسیار بالا و بدون نیاز به عملیات تکمیلی به پودرها قابل استفاده تبدیل می‌شوند. روش کار براساس حرکت براده‌ها همراه با یک جریان سریع از هوا و برخورد به یک صفحه هدف چدنی است که باعث متلاشی شدن براده‌ها می‌شود. همچنین، نشان داده شده است که پودرها تولید شده به روش آسیاب پاششی نسبت به روش آسیاب گلوله‌ای دارای گوشش‌های تیزتر و سطوح زبرتر بوده و قابلیت تراکم بیشتری دارند[7].

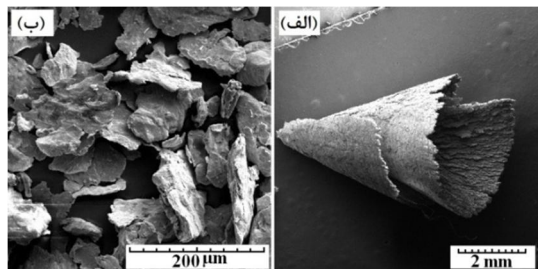
افزودن پودر چدن خاکستری به پودر آهن این امکان را فراهم می‌سازد تا از طریق تف‌جوشی یک قطعه متالورژی پودر آلیاژی با مقاومت به سایش بالا و خواص فیزیکی و مکانیکی خوب حاصل شود. این کار همزمان باعث کاهش مصرف پودر آهن می‌شود که گران‌تر از چدن است. عبداللهی و همکاران، در تحقیقات قبلی با افزودن پودر چدن تولید شده به روش آسیاب پاششی به پودر آهن به بررسی خواص فیزیکی و مکانیکی پودرها تولید شده و خشته‌های خام[8]، و خواص قطعات تف‌جوشی شده[10، ۹]، پرداخته و خواص

خوب فیزیکی-مکانیکی را برای این گروه از قطعات گزارش کردند.

در شرایطی که شکل قطعه به گونه‌ای است که تولید آن از طریق تراکم در قالب مشکل است و یا دقت ابعادی سیار باای لازم است، نیاز به انجام عملیات ماشینکاری خواهد بود. قطعات تف‌جوشی شده، از نقطه نظر ماشینکاری، در زمرة موادی قرار می‌گیرند که به سختی ماشینکاری می‌شوند، چرا که عملیات برش به واسطه حضور تخلخل در حالت خام به دلیل سهولت ماشینکاری خام متعاقباً سایش ابزار و سطح پرداخت ضعیف را به همراه خواهد داشت. در برخی موارد ماشینکاری قطعه در حالت خام به دلیل سهولت ماشینکاری خام و یا کمینه کردن ماشینکاری نهایی انجام می‌گیرد. در ماشینکاری خام، به دلیل عدم وجود نیروهای بین دانه‌ای قوی، نیروهای ماشینکاری پایین است. البته، ماشینکاری بر روی خشته‌های خام تنها تحت شرایط خاص (در ارتباط با دو عامل خشته خام و پارامترهای ماشینکاری) قابل انجام است[11,12]. به طور کلی می‌توان گفت که مزایای ماشینکاری خام شامل نیروهای برش کمتر، سایش ابزار کمتر و در نهایت کاهش مجموع هزینه‌ها؛ و معایب آن شامل تحمل پایین نیروهای ماشینکاری و گیره‌بندی توسط خشته و نیز کیفیت پایانی ضعیفتر است[12].

قطعات متالورژی پودر به طور کلی قابلیت ماشینکاری ضعیفتری نسبت به قطعات کار شده دارند که عامل تأثیرگذار کلیدی آن وجود تخلخل در ساختار آن‌ها است. تخلخل باعث تبدیل یک ساختار موادی پیوسته به یک ساختار ناپیوسته می‌شود که متعاقباً باعث ایجاد برش منقطع، بروز اثرات منفی بر روی طول عمر ابزار و صافی سطح پس از ماشینکاری می‌شود[12]. قطعات متالورژی پودر برخلاف قابلیت ماشینکاری ضعیف، این امتیاز را دارند که به حجم براده‌برداری کمتری نیاز دارند. علاوه‌بر این با توجه به اینکه عملیات

1- Jet milling method



شکل 1(الف) شکل و اندازه برآدھای چدن خاکستری استفاده شده برای تولید پودر،
ب) پودرهای نهایی تولید شده به روش آسیاب پاششی

دو بخش خام و تفجوشی شده مورد بررسی قرار گرفت. در بخش خام امکان ماشینکاری نمونه‌های پرس شده در عملیات سوراخکاری و تحت شرایط مختلف بررسی شد و در بخش تفجوشی شده نیز قابلیت ماشینکاری با دو معیار نیروهای ماشینکاری و زبری سطح پس از ماشینکاری سنجیده شد. برای این کار ماشین فرز مدل FP4MK ماشین‌سازی تبریز و متهای مارپیچی HSS با پوشش TiN با قطر 6 mm، زاویه مارپیچ 30° و زاویه رأس 120° استفاده شدند. در بخش خام، هر نمونه، با سرعت پیش روی ثابت 20 mm/min و با دو سرعت برشی 7/5 و 15 m/min 20 مورد آزمایش قرار گرفته و قابلیت آن نمونه برای عملیات ماشینکاری خام به صورت کیفی مورد بررسی قرار گرفت. برای اندازه‌گیری قابلیت ماشینکاری قطعات تفجوشی شده در مرحله اول از دینامومتر سه مؤلفه‌ای مدل KISTLER 9257B استفاده شد. در این بخش عملیات، با سرعت پیش روی ثابت 40 mm/min و سرعت برشی 7/5 m/min، انجام گرفت. دلیل انتخاب سرعت برشی نسبتاً پایین این است که عملیات سوراخکاری با سرعت برش پایین در قطعات متالورژی پودر، نسبت به تغییرات ریزساختاری حساسیت بیشتری دارد [12]. برای هر ردیف آزمایش دو نمونه ماشینکاری شد. پس از ماشینکاری هر سوراخ اطلاعات به دست آمده از فرایند ماشینکاری در یک فایل توسط نرم‌افزار داینونور² ذخیره شده و سپس از روی نمودارهای به دست آمده از آن مقادیر نیروی محوری و گشتاور ایجاد شده در ماشینکاری آن سوراخ به دست آمد. پس از عملیات تسطیح دستگاه زبری سنج مار³ مدل PS1 Marsurf اندازه‌گیری شد. آزمایش زبری سنجی با طول کورس 1/75 mm بر روی سطح سوراخ شده نمونه و برای هر نمونه 5 بار در نقاط مختلف آن تکرار شده و عدد دقیق زبری سطح (R_a) به صورت حاصل میانگین این اعداد تعیین شد.

جدول 1 متغیرهای مستقل فرایند و سطوح آنها

سطوح							متغیر
-2	-1	0	1	2	واحد	علامت	
30	40	50	60	70	[·]	CIP	درصد پودر
400	500	600	700	800	[MPa]	P	فشار تراکم
1050	1080	1110	1140	1170	[°C]	STe	دمای تف-
20	30	40	50	60	[min]	STi	زمان تف-
							جوشی

2- Dynoware
3- Mahr (Marsurf PS1)

سطح بالا و پایین هر پارامتر به ترتیب با 2 و -2 کد شده و مقدار کد شده هر سطح دلخواه میانی با استفاده از رابطه (1) محاسبه می‌شود [19]:

$$X_i = \frac{2X - (X_{\max} + X_{\min})}{(X_{\max} - X_{\min})/2} \quad (1)$$

که در آن X_i مقدار کد شده برای فاکتور دلخواه با مقدار واقعی X (بین X_{\min} و X_{\max}) است. X_{\min} و X_{\max} نیز به ترتیب حدود واقعی پایین و بالای فاکتورها هستند.

برای بررسی خواص قطعات تفجوشی شده، پارامترهای درصد پودر چدن، فشار تراکم، دمای تفجوشی و زمان تفجوشی هر کدام در پنج سطح به عنوان متغیرهای ورودی فرض شدند (مطابق جدول 1). در این بخش در مجموع 31 آزمایش طراحی شد، که شامل 16 نقطه آزمایش در نقاط عاملی در رئوس مکعب، هشت نقطه آزمایش در نقاط محوری و هفت نقطه آزمایش در مرکز مکعب است. جدول 2 ترکیب 31 آزمایش طراحی شده به همراه فاکتورهای آزمایش و سطوح هر فاکتور را نشان می‌دهد. در این بخش، پاسخ‌های اندازه‌گیری شده نیروی محوری و نیروی گشتاوری سوراخکاری، و زبری سطح پس از ماشینکاری هستند.

2- تولید پودر چدن و تهیه نمونه‌ها

برآدھای چدن خاکستری از نوع پرلیتی لایه‌ای به دست آمده از تراشکاری خشک حاوی 3/5% کربن، و همچنین پودر آهن افشارشی تجاری خالص حاوی 0/02% کربن، به عنوان مواد اولیه در این تحقیق مورد استفاده قرار گرفتند. شکل برآدھای اولیه در تصویر SEM شکل 1 (الف) دیده می‌شود.

برآدھا توسط روش آسیاب پاششی و با استفاده از متغیرهای بهینه به دست آمده از تحقیق انجام شده قبلي [6]. تبدیل به پودر شدند. برای این منظور مقدار 5 کیلوگرم از برآدھای اولیه در پنج چرخه تحت عملیات آسیاب پاششی قرار گرفتند. عملیات بهینه مورد استفاده عبارت از: نرخ تغذیه 40 g/s، زاویه برخورد 90°، فاصله نازل تا صفحه هدف 8 cm و فشار هوای 0.6 MPa. جدول 3 اندازه نهایی پودرهای استفاده شده برای ساخت قطعات را نشان می‌دهد. شکل 1 (ب) نیز تصویر SEM پودرهای تولید شده را نشان می‌دهد. همان‌طور که دیده می‌شود پودرهای از نوع پولکی، گوشدار و نامنظم و با سطوح زبر هستند. توزیع اندازه ذرات و ویژگی‌های فیزیکی پودر آهن افشارشی مورد استفاده نیز در جدول 3 آمده است. نرخ جریان و چگالی ظاهری پودرها (جدول 3) با استفاده از جریان سنج هال¹ و مطابق با استانداردهای به ترتیب [20]ASTM B213-97، [21]ASTM B212-99، به دست آمدند.

پس از آماده سازی پودرهای ترکیب‌های پودری آهن-چدن با درصدهای مختلف چدن تحت فشارهای تک محوری مختلف در داخل قالبی با حفره مستطیلی، به ابعاد 317 mm در 127 mm² بفرشده شدند (با ضخامت بین 6/5 mm³ و 8 mm³ بسته به پارامترهای ساخت)، روانکاری قالب با محلول 10% استرنریت روی و طبق استاندارد ASTM B331-95 [22] انجام شد. سپس، خشته‌های خام تحت دمایها و زمان‌های مختلف و در اتمسفر آرگون تفجوشی شده و پس از هر مرحله تفجوشی در کوره تا دمای محیط سرد شدند.

3- آزمایش سوراخکاری

در این بخش خواص ماشینکاری نمونه‌های متالورژی پودر تهیه شده در

1- Hall flowmeter

جدول 2 ماتریس طراحی آزمایش به همراه نتایج اندازه گیری شده برای خواص ماشینکاری قطعات تف جوشی شده

شماره آزمایش	چدن	درصد پودر	فشار	دما	زمان	تف جوشی	نیروی محوری (N)	نیروی گشتاوری (Nm)	زبری سطح (R_a)
1	0	0	0	0	2	0	127/4	3/00	2/45
2	2	0	0	0	0	0	96/3	1/64	1/77
3	0	0	0	0	0	0	117/6	3/07	2/66
4	1	-1	1	1	-1	1	113/4	2/26	2/91
5	0	0	0	0	0	0	115/5	2/84	2/60
6	0	0	0	0	0	0	116/5	2/85	2/55
7	2	0	0	0	0	2	138/7	3/95	1/89
8	0	0	0	0	0	0	120/4	3/10	2/63
9	-1	1	-1	1	1	-1	101/5	2/13	3/04
10	1	1	-1	-1	-1	1	117/6	2/43	2/34
11	-1	-1	1	1	1	-1	125/0	3/25	3/02
12	1	-1	-1	-1	-1	-1	114/0	2/31	3/27
13	-1	-1	-1	1	1	1	109/7	2/21	2/17
14	1	1	-1	-1	-1	-1	127/1	3/23	2/85
15	0	-2	0	0	0	0	98/6	1/92	3/45
16	-1	1	1	1	1	-1	137/3	3/94	2/65
17	1	1	1	1	1	-1	141/5	4/12	2/12
18	-1	-1	-1	1	1	1	94/2	1/88	3/38
19	-1	1	-1	-1	-1	-1	121/4	2/68	3/15
20	0	0	0	0	0	0	118/3	3/00	2/61
21	-1	1	1	1	1	1	117/6	2/84	1/76
22	0	0	0	0	0	-2	139/9	3/92	3/07
23	0	2	0	0	0	0	138/5	3/35	2/28
24	0	0	0	0	0	0	119/0	2/85	2/67
25	1	-1	1	1	1	-1	130/9	3/56	2/95
26	-2	0	0	0	0	0	114/8	2/35	2/95
27	0	0	0	0	0	0	119/8	3/19	2/69
28	1	1	1	1	1	1	134/0	2/87	1/54
29	-1	-1	-1	1	1	-1	116/1	2/62	3/67
30	1	-1	1	1	1	1	112/2	2/58	2/13
31	0	0	-2	0	0	0	103/7	1/89	3/95

خشته‌های خام در برابر نیروهای گیره‌بندی و ماشینکاری بدون شکست نمونه‌ها در هر دو شرایط ماشینکاری است. اما، برخی از نمونه‌ها در حین عملیات سوراخکاری دچار لب‌پریدگی در لبه سوراخ‌ها شده و در این آزمون از نقطه نظر کاربرد صنعتی مردود شدند. با این حال، سوراخ‌های مورد نظر در تعداد قابل توجهی از نمونه‌ها در هر دو شرایط ماشینکاری بدون هیچ‌گونه نقص و لب‌پریدگی ماشینکاری شدند.

همچنین، از نتایج این جدول می‌توان دریافت که خشته‌های خام متالورژی پودر در عملیات سوراخکاری نسبت به انتهای سوراخ (خروجی متنه) از حساسیت بیشتری برخوردارند. چنین روند مشابهی در عملیات سوراخکاری خشته‌های خام پایه آهنی [15]، و سوراخکاری قطعات متالورژی پودر فولاد کم‌آلیاژ [16]، نیز مشاهده شده است. البته، این اثر در خشته‌های خام به صورت لب‌پریدگی و شکست، و در قطعات تف جوشی شده به شکل پلیسه دیده می‌شود [16]. از روند موجود در جدول می‌توان دریافت که هر دو عامل درصد پودر چدن و فشار تراکم در کیفیت سوراخ‌های ایجاد شده نقش اساسی دارند. همچنین، می‌توان دریافت که افزایش سرعت بررشی در کیفیت

جدول 3 توزیع اندازه چدن پودرهای استفاده شده

اندازه چدن (mm)	106-180	75-106	45-75	-45	نرخ جریان (HAL) : 39/51 (g/50g)	چگالی ظاهری (g/cm³) : 2/56
کسر وزنی (%) : 62/08	21/42	10/77	5/73	10/77	39/51 (g/50g)	چگالی ظاهری (g/cm³) : 2/56
اندازه چدن (mm)	106-180	75-106	45-75	-45	نرخ جریان (HAL) : 24/55 (g/50g)	چگالی ظاهری (g/cm³) : 3/11
کسر وزنی (%) : 34/17	22/43	32/26	11/14	32/26	24/55 (g/50g)	چگالی ظاهری (g/cm³) : 3/11
اندازه چدن (mm)	106-180	75-106	45-75	-45	نرخ جریان (HAL) : 3/11 (g/cm³)	چگالی ظاهری (g/cm³) : 24/55

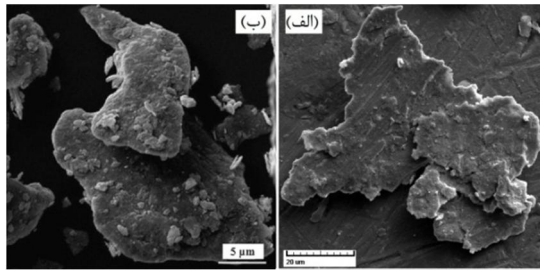
3- نتایج و بحث

3-1- خشته‌های خام

جدول 4 نتایج حاصل از ماشینکاری خام خشته‌های تهیه شده با پارامترهای ساخت مختلف را از نظر شکل و یکپارچگی لبه سوراخ‌ها نشان می‌دهد. مطابق این جدول، اولین نتیجه مطلوب در ماشینکاری خام، مقاومت و استحکام تمام

در نرم افزار داینوبور را نشان می‌دهد. در این نمودار دو خروجی محوری و گشتاور سوراخکاری به شکل گراف نمایش داده شده‌اند. برای اطمینان از ناچیز بودن سایر مؤلفه‌های نیروها، نتایج چندین نمونه آزمایشی مشابه قبل از نمونه‌های اصلی مورد بررسی قرار گرفت. شایان ذکر است که در صورت وجود خطای مربوط به گرد نبودن متنه، بی‌دقیقی اسپیندل ماشین در هنگام چرخش و یا بی‌دقیقی حرکت عمودی میز ماشین، ممکن است سایر نیروها به جز دو نیروی فوق نیز مقادیر محسوسی داشته باشند که باعث بروز خطای در نتایج می‌شود [24]. با توجه به نمودارهای به دست آمده، اعداد مربوط به نیروی محوری و گشتاور از میانگین‌گیری بر روی این نمودارها در طول سیکل زمانی ماشینکاری به دست آمده و ثبت شد.

جدول 5 نتایج تحلیل واریانس بر روی داده‌های مربوط به نیروی محوری را نشان می‌دهد. مطابق این جدول تنها پارامترهای اصلی فرایند بر روی نیروی محوری مؤثر شناخته می‌شوند. ضریب همبستگی بالا (حدود 92%) نشان از پوشش بالای داده‌ها توسط مدل ارائه شده دارد [19]. همچنین، شکل 4 نمودار احتمال نرمال توزیع باقیمانده‌ها در تحلیل واریانس را نشان می‌دهد. مطابق شکل 4 (الف) مشاهده می‌شود که در نمودار احتمال نرمال داده‌های مربوط به نیروی محوری، باقیمانده‌ها حول خط مستقیم قطری پراکنده شده و توزیع نرمالی دارند که نشان‌دهنده صحت مدل ارائه شده و معادلات



شکل 2 پودر تولید شده با روش‌های: (الف) آسیاب پاششی، (ب) آسیاب گلوله‌ای

سوراخ‌های ایجاد شده مؤثر بوده و با افزایش آن کیفیت سوراخ‌ها نیز بالاتر می‌رود. شایان ذکر است قابلیت ماشینکاری خشته‌های متالورژی پودر در قطعاتی که پس از تولید نیاز به ماشینکاری دارند، از دیدگاه صنعتی و اقتصادی یک امر مهم تلقی می‌شود، چرا که باعث کاهش هزینه‌های ماشینکاری و افزایش سرعت تولید می‌شود [12]. در خشته‌های تولید شده در این تحقیق عامل مهمی که باعث محقق شدن این موضوع گشته، استفاده از پودر چدنی است که با روش آسیاب پاششی تولید شده است. شکل 2 تقاضت پودرهای تولید شده با دو روش آسیاب پاششی و آسیاب گلوله‌ای را نشان می‌دهد. مطابق شکل 2 (الف) پودرهای تولید شده به روش آسیاب پاششی دارای گوشه‌های نیز به همراه سطوح زبر و بدون ذرات آزاد گرافیت هستند. در حالی که پودرهای تولید شده به روش آسیاب گلوله‌ای بدليل زمان‌های طولانی آسیاب کاری دارای گوشه‌های گرد و ساییده بوده و همچنین سطوح آن‌ها صاف و همراه با ذرات آزاد گرافیت است.علاوه بر این، پودرهای تولید شده به روش آسیاب پاششی، برخلاف پودرهای تولید شده با سایر روش‌ها مانند آسیاب گلوله‌ای، بدون ایجاد کرنش سختی تولید می‌شوند. مجموع عوامل یاد شده باعث افزایش استحکام خام این دسته از خشته‌ها شده [9,7] و امکان ماشینکاری خام آن‌ها را فراهم می‌سازند. گفتنی است پودرهای تولید شده با سایر روش‌های مکانیکی خصوصیاتی مشابه پودرهای تولید شده به روش آسیاب گلوله‌ای دارند [7]. همچنین، انتخاب سرعت پیشروی پایین تأثیر بهسزایی در قابلیت ماشینکاری خام قطعات متالورژی پودر دارد [23].

2-3- قطعات تف جوشی شده

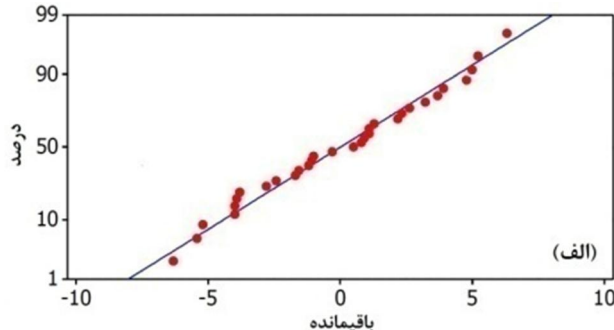
شکل 3 یک نمودار به دست آمده از فرایند اندازه‌گیری نیروهای ماشینکاری

جدول 4 نتایج حاصل از ماشینکاری خشته‌های خام

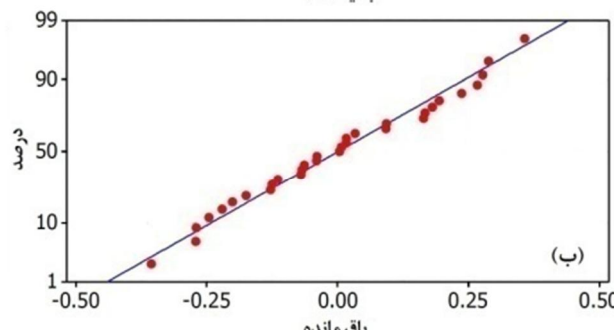
درصد پودر چدن (%)	فشار تراکم (MPa)	سرعت پیشروی (mm/min)	سرعت بر بشی (m/min)	دوام در برابر نیروی شده (رویدی متنه)	کیفیت سوراخ ماشینکاری شده (خروچی متنه)	کیفیت سوراخ ماشینکاری لب پریدگی شدید
50	600	20	7/5	دارد	لб پрیدگی	لб پریدگی شدید
40	500	20	15	دارد	لб پریدگی جزئی	لб پریدگی شدید
40	700	20	7/5	دارد	بدون نقص	لб پریدگی شدید
40	700	20	15	دارد	بدون نقص	لб پریدگی جزئی
60	500	20	7/5	دارد	بدون نقص	لб پریدگی شدید
60	600	20	15	دارد	بدون نقص	لб پریدگی شدید
30	600	20	7/5	دارد	بدون نقص	لб پریدگی جزئی
70	600	20	7/5	دارد	بدون نقص	لб پریدگی شدید
60	700	20	7/5	دارد	بدون نقص	لб پریدگی جزئی
60	700	20	15	دارد	بدون نقص	لб پریدگی شدید
50	400	20	7/5	دارد	بدون نقص	لб پریدگی شدید
50	800	20	7/5	دارد	بدون نقص	لб پریدگی شدید

نیروی محوری در درصدهای بالاتر پودر چدن شده است. همچنین، هر سه پارامتر فشار تراکم، دمای تفجوشی و زمان تفجوشی باعث افزایش چگالی، استحکام و سختی می‌شوند [10]، که در نهایت باعث افزایش نیروی محوری سوراخکاری نیز شده است.

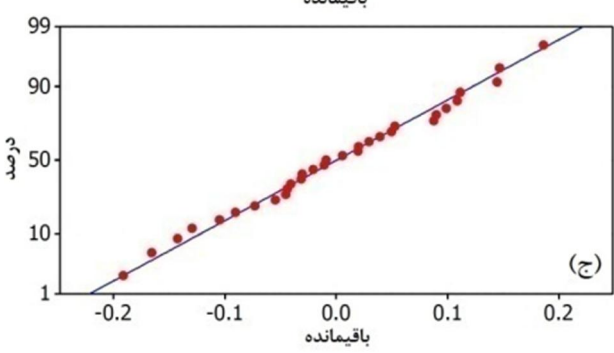
نتایج تحلیل واریانس برای گشتاور سوراخکاری در جدول 6 آمده است. مطابق این نتایج تمام پارامترهای اصلی در گشتاور سوراخکاری مؤثر هستند و در بین سایر پارامترها نیز تنها پارامتر تعاملی درصد پودر چدن-فشار تراکم مؤثر است. در این بخش درصد پودر چدن بیشترین تأثیر را بر روی گشتاور سوراخکاری این نمونه‌ها به دست می‌آید.



(الف)

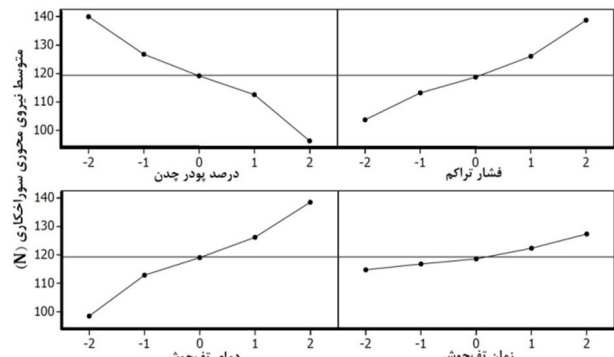


(ب)



(ج)

شکل 4 نمودار احتمال نرمال برای توزیع باقیمانده‌ها در تحلیل واریانس: (الف) نیروی محوری، (ب) نیروی گشتاوری، (ج) زبری سطح

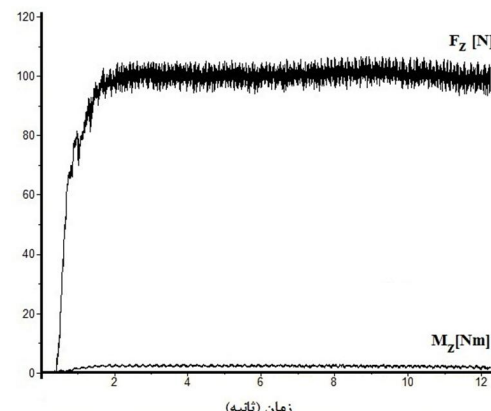


شکل 5 نمودار تأثیر پارامترهای اصلی بر نیروی محوری سوراخکاری

رگرسیون استخراجی است [17]. این روند در نمودار احتمال نرمال باقیمانده‌های مربوط به دو پاسخ نیروی گشتاوری و زبری سطح نیز در شکل‌های 4 (ب) و 4 (ج) دیده می‌شود. نمودار توزیع مقادیر T موجود در جدول نشان می‌دهد که پارامترهای درصد پودر چدن، فشار تراکم و دمای تفجوشی تقریباً به یک میزان بر روی نیروی محوری ماشینکاری مؤثر هستند، اما تأثیر زمان تفجوشی به طور قابل ملاحظه‌ای کمتر از تأثیر سایر پارامترها است. با توجه به پارامترهای مؤثر و همچنین ضرایب بدست آمده از تحلیل برای این پارامترها، معادله رگرسیون (2) برای پیش‌بینی نیروی محوری در عملیات سوراخکاری این نمونه‌ها به دست می‌آید.

$$F_{th} = 119.31 - 8.35CIP + 7.20P + 7.75STE + 2.89STi \quad (2)$$

شکل 5 نمودار تأثیر پارامترهای اصلی بر روی نیروی محوری را نشان می‌دهد. مطابق این شکل، افزایش درصد پودر چدن باعث کاهش نیروی محوری و افزایش پارامترهای فشار تراکم، دما و زمان تفجوشی باعث افزایش نیروی محوری می‌شود. با افزایش درصد پودر چدن خواصی نظیر چگالی، استحکام و سایش (مرتبط با افزایش گرافیت) در درصدهای بالا کمتر می‌شود [10]، که این سه عامل بر افزایش سختی غالب شده و باعث کاهش



شکل 3 خروجی به دست آمده در نرم‌افزار داینونور

جدول 5 تحلیل واریانس اصلاح شده برای نیروی محوری در سوراخکاری قطعات

	متغیر	منبع	مجموع مربعات	درآمدی آزادی	میانگین مربعات	تعداد درجات	مقدار T	مقدار F	مقدار P
	رگرسیون		4560/43	4	1140/11				
0/000	83/05	CIP	1671/67	1	121/77	-11/04			
0/000	90/73	P	1245/60	1	90/73	9/53			
0/000	105/12	Ste	1443/05	1	105/12	10/25			
0/001	14/58	STi	200/10	1	14/58	3/82			
	خطای باقیمانده		356/93	26	13/73	-	-	-	
0/022	5/46	عدم برآش	338/36	20	16/92	-			
	خطای خالص		18/58	6	3/10	-	-	-	
	مجموع		4917/36	30	-	-	-	-	

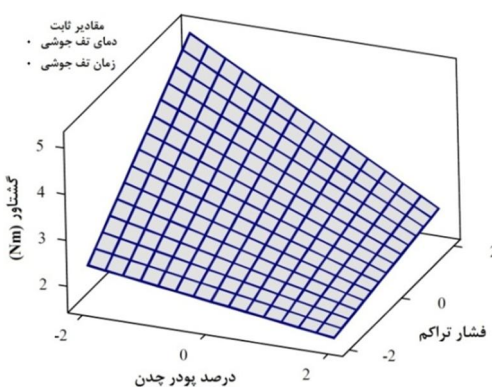
$$R^2 = 92/74\% \quad R^2(\text{adj}) = 91/62\%$$

شکل 7 منحنی رویه پاسخ برای پارامتر تعاملی مؤثر در تحلیل اخیر را نشان می‌دهد. مطابق شکل، در درصدهای پایین چدن افزایش فشار تراکم باعث افزایش شدید گشتاور شده است، در صورتی که در درصدهای بالای چدن این افزایش جزئی است، در حالی که افزایش فشار تراکم در تمام شرایط باعث افزایش چگالی، استحکام و سختی نمونه‌ها می‌شود [10]. لذا، این مورد یک نتیجه مطلوب برای کاربرد پودرهای چدن آسیاب پاششی در ترکیب با پودر آهن محسوب می‌شود و بدین دلیل است که با افزایش پودر چدن، خواص سایشی نمونه ارتقاء یافته و با ایجاد ضربی اصطکاک کمتر (به واسطه وجود گرافیت ابقاء شده در ترکیب نمونه) باعث غلبه بر عوامل مخالف ذکر شده می‌شود. همچنین، با توجه به شکل تأثیرگذاری افزایش پودر چدن در کاهش گشتاور، در فشارهای بالای تراکم بسیار بیشتر از فشارهای پایین است، به این دلیل که در فشارهای تراکم پایین، چگالی، استحکام و سختی در شرایط نامطلوبی قرار دارند و این باعث می‌شود که تأثیر این عوامل بیشتر بوده و باعث کاهش تأثیر درصد چدن شوند.

پس از انجام تحلیل واریانس بر روی داده‌های مربوط به زبری سطح، نتایج حاصل، مطابق جدول 7، با ضربی همبستگی حدود 97% به دست آمد. همچنین، باقیمانده‌های تحلیل واریانس در نمودار احتمال نرم‌النیز مطابق شکل 4 (ج) از توزیع نرمالی برخوردار هستند که صحت مدل ارائه شده و معادله رگرسیون استخراجی را تأیید می‌کند. همان‌طور که در جدول ملاحظه می‌شود تمام پارامترهای اصلی بر روی زبری سطح تأثیرگذار هستند. همچنین، پارامترهای مرتبه دوم درصد پودر چدن، فشار تراکم و دمای تف‌جوشی به عنوان پارامترهای مؤثر شناخته شده‌اند. در بین پارامترهای تعاملی نیز پارامتر تعاملی درصد پودر چدن-فشار تراکم مؤثر هستند. پس از استخراج ضرایب پارامترهای مؤثر از تحلیل واریانس، معادله رگرسیون زبری سطح این نمونه‌ها مطابق رابطه (4) ارائه می‌شود.

$$R_a = 2.64 - 0.29CIP + 0.43P + 0.28STe + 0.15STi - 0.06CIP \times CIP + 0.06P \times P + 0.05STe \times STe - 0.12CIP \times P \quad (4)$$

شکل 8 نمودار تأثیر پارامترهای اصلی بر روی زبری سطح حاصل از ماشینکاری را نشان می‌دهد. مطابق این شکل، با افزایش هر چهار پارامتر اصلی، زبری سطح حاصل کاهش می‌یابد، اما مطابق مقادیر T موجود در جدول 7 میزان تأثیر آن‌ها متفاوت است. به این ترتیب که فشار تراکم بیشترین تأثیر را بر روی زبری سطح دارد و پس از آن دو پارامتر درصد پودر چدن و دمای تف‌جوشی با میزان تأثیر تقریباً یکسان در مرتبه بعدی قرار دارند. تأثیر زمان تف‌جوشی نیز کمتر از سایر پارامترها است. کاهش زبری



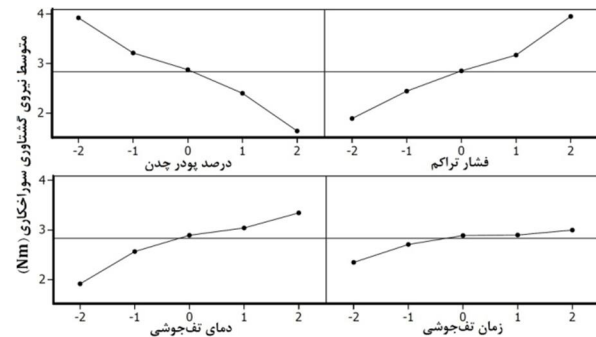
شکل 7 منحنی رویه پاسخ برای پارامتر تعاملی گشتاور سوراخکاری

سوراخکاری دارد. در این تحلیل، اولاً، ضربی همبستگی حدود 90% نشان-دهنده پوشش مناسب داده‌ها توسط مدل است. همچنین، مطابق مقادیر P ، CIP ، STe و STi باعث عدم برآذش غیرمؤثر است که نشان‌دهنده دقیقت مدل است [19]. علاوه‌بر این، توزیع نرمال باقی‌مانده‌ها در نمودار احتمال نرم‌النیز مطابق شکل 4 (ب) نشان‌دهنده صحت مدل ارائه شده و معادله رگرسیون (3) برای پیش‌بینی گشتاور سوراخکاری است.

$$T = 2.83 - 0.46CIP + 0.42P + 0.28STe + 0.12STi - 0.14CIP \times P \quad (3)$$

شکل 6 نمودار تأثیر پارامترهای اصلی بر روی گشتاور سوراخکاری را نشان می‌دهد.

مطابق این شکل و در نتایج مشابه با شکل 5، افزایش درصد چدن باعث کاهش گشتاور، و افزایش پارامترهای فشار تراکم، دما و زمان تف‌جوشی باعث گشتاور سوراخکاری می‌شوند. با این تفاوت که در این تحلیل علاوه‌بر پارامترهای اصلی، پارامتر تعاملی درصد پودر چدن-فشار تراکم نیز مؤثر است. بدین معنی که روند موجود برای تغییر گشتاور نسبت به این دو پارامتر با روند کلی نمودار تأثیر پارامترهای اصلی مطابقت کامل ندارد.

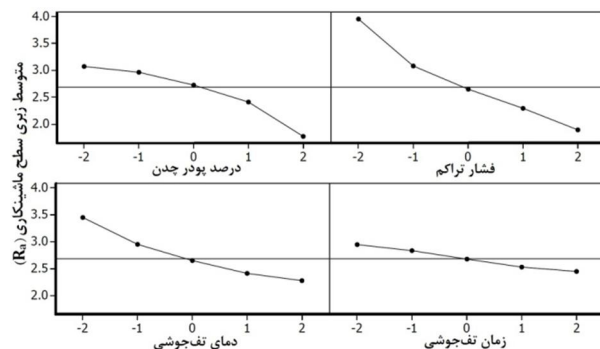


شکل 6 نمودار تأثیر پارامترهای اصلی برای نیروی گشتاوری سوراخکاری

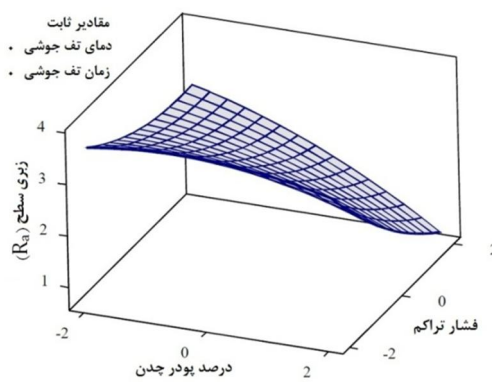
جدول 6 تحلیل واریانس اصلاح شده برای نیروی گشتاوری در سوراخکاری قطعات تف جوشی شده

منبع تغییر	مجموع مربعات	درجات آزادی	میانگین مربعات	مقدار T	مقدار F	مقدار P	مقدار R_a
رگرسیون	11/745	5	2/349	-	54/74	-	2.64 - 0.29CIP + 0.43P + 0.28STe + 0.15STi - 0.06CIP × CIP + 0.06P × P + 0.05STe × STe - 0.12CIP × P
CIP	5/106	1	5/106	-10/91	118/98	-	
P	4/125	1	4/125	9/80	96/12	-	
STe	1/865	1	1/865	6/59	43/46	-	
STi	0/338	1	0/338	2/81	7/89	-	
$CIP \times P$	0/311	1	0/311	-2/69	7/24	-	
خطای باقی‌مانده	1/073	25	0/043	-	-	-	
عدم برآذش	0/953	19	0/050	2/50	2/130	-	
خطای خالص	0/120	6	0/020	-	-	-	
مجموع	12/818	30	-	-	-	-	

$$R^2 = 91/63\% \quad R^2(\text{adj}) = 89/96\%$$



شکل 8 نمودار تأثیر پارامترهای اصلی برای زبری سطح ماشینکاری



شکل 9 منحنی رویه پاسخ برای پارامتر تعاملی زبری سطح ماشینکاری

جهت اعتبارسنجی و مقایسه بین نتایج حاصل از معادلات رگرسیون، ارائه شده و نتایج تجربی حاصل از آزمایش‌های ماشینکاری استفاده شده است. مقادیر پارامترهای ورودی به همراه پاسخ‌های پیش‌بینی شده توسط معادلات رگرسیون و همچنین نتایج تجربی برای هر نمونه در جدول 8 آمده است. مقایسه بین نتایج پیش‌بینی شده و نتایج واقعی حاصل از آزمایش نشان می‌دهد که خطای بین این مقادیر بین 2 الی 10 درصد بوده و این امر نشان‌گر عملکرد خوب معادلات رگرسیون ارائه شده در پیش‌بینی مقادیر مورد نظر و صحت این معادلات است.

5- نتیجه گیری

نتایج برجسته این تحقیق عبارت‌انداز:

1- خشته‌های خام بازیابی شده از برآدهای چدن خاکستری به روش آسیاب پاششی در ترکیب با آهن و تحت شرایط خاص ماشینکاری قابلیت ماشینکاری خام در عملیات سوراخکاری را دارند و سرعت برشی به عنوان یک عامل تأثیرگذار در قابلیت ماشینکاری این قطعات شناخته می‌شود.

2- معادلات رگرسیون استخراجی برای خواص ماشینکاری قطعات تف جوشی شده آهن-چدن آسیاب پاششی، دارای دقت کافی برای پیش‌بینی این خواص هستند، به طوری که خطای بین مقادیر پیش‌بینی شده و مقادیر واقعی حاصل از آزمایش‌های تکمیلی در محدوده 2-10% قرار دارد.

3- حضور پودر چدن خاکستری تولید شده به روش آسیاب پاششی در ترکیب قطعه متالورژی پودر پایه آهنی باعث کاهش نیروهای محوری و گشتاوری سوراخکاری و همچنین کاهش زبری سطح می‌شود که نشان‌دهنده نقش مثبت آن در بهبود قابلیت ماشینکاری از طریق اباقی گرافیت آزاد در ساختار این دسته از قطعات است. این نتیجه، مزایای منحصر به فرد افزودن

سطح با افزایش پودر چدن را می‌توان به افزایش سهم چدن در ترکیب مربوطه نسبت داد، چرا که به واسطه حضور گرافیت‌های آزاد در ساختار آن قابلیت ماشینکاری بیشتری نسبت به آهن دارد (با معیار زبری سطح) [24]. همچنین، افزایش سختی با افزایش درصد پودر چدن می‌تواند عاملی برای کاهش زبری سطح نهایی باشد. با افزایش فشار تراکم نیز نمونه متالورژی پودر به یک نمونه کار شده نزدیک شده و با کاهش تخلخل نمونه منجر به کاهش زبری سطح می‌شود [12]. افزایش دمای تف جوشی نیز به دلیل افزایش چگالی و سختی نمونه [10]، باعث کاهش زبری سطح و افزایش قابلیت ماشینکاری این نمونه‌ها می‌شود.

شکل 9 منحنی رویه پاسخ مربوط به نحوه تأثیر پارامتر تعاملی درصد پودر چدن-فسار تراکم بر روی زبری سطح را نشان می‌دهد. مطابق شکل، افزایش فشار تراکم در درصدهای بالای پودر چدن باعث کاهش زبری سطح بیشتری نسبت به درصدهای پایین پودر چدن شده است. این امر نشان‌دهنده بهبود قابلیت ماشینکاری این دسته از قطعات با درصدهای بالای پودر چدن بوده و به عنوان یک حسن در استفاده از پودر چدن آسیاب پاششی شده در ترکیب با پودر آهن محسوب می‌شود. همچنین، این شکل به خوبی نشان می‌دهد که زمانی استفاده از پودر چدن بیشترین کارایی را در بهبود قابلیت ماشینکاری دارد که همراه با فشارهای تراکم بالا به کار بrede شود. چرا که مطابق شکل، در فشارهای تراکم پایین افزایش درصد پودر چدن همراه با افت چگالی زبری سطح شده است، زیرا افزایش درصد پودر چدن همراه با افت چگالی است و فشارهای پایین قادر به جبران آن نیستند. اما در فشارهای بالا، به دلیل جبران اثر منفی کاهش چگالی (افزایش تخلخل) بر روی زبری سطح، کاهش زبری سطح با شبیه‌سازی اتفاق افتاده است.

4- صحه گذاری معادلات رگرسیون

در این بخش چهار نمونه از قطعات تهیه شده در تحقیقات قبلی [10] جدول 7 تحلیل واریانس اصلاح شده برای زبری سطح ماشینکاری در سوراخکاری قطعات تف جوشی شده

منبع تغییر	مجموع مربعات	میانگین درجات آزادی	مقدار T مقدار F مقدار P
رگرسیون	9/433	8	1/179 - 95/52
CIP	2/048	1	-12/879 165/86
P	4/498	1	-19/088 364/36
Ste	1/843	1	-12/217 149/26
STi	0/502	1	-6/375 40/64
CIP×CIP	0/106	1	-2/933 8/60
P×P	0/120	1	3/117 9/72
STe×STe	0/074	1	2/452 6/01
P×CIP	0/219	1	-4/208 17/70
خطای باقیمانده	0/272	22	- - 0/012
عدم	0/258	16	0/016 7/01
برازش	0/014	6	- - 0/002
خطای خالص	9/705	30	- - -
مجموع	97/20%	R ² (adj)	96/18%

جدول 8 مقایسه بین نتایج تجربی و نتایج حاصل از معادلات رگرسیون

نیروی گشتاوری (Nm)			نیروی محوری (N)			زبری سطح (R_a)			مقادیر ورودی		
مشاهده	پیش‌بینی	مشاهده	پیش‌بینی	مشاهده	پیش‌بینی	STi (min)	Ste (°C)	P (MPa)	CIP (%)		
3/95	4/28	130/3	137/0	2/86	2/75	60	1066	800	39/3		
5/01	5/18	153/8	163/2	1/81	1/85	60	1170	800	40/2		
4/62	4/41	160/2	154/5	1/44	1/36	60	1170	800	50/6		
3/83	3/67	148/9	146/2	0/85	0/77	60	1170	800	60/6		

- [9] H. Abdollahi, R. A. Mahdavinejad, V. Zal, M. Ghambari, Optimization of mechanical properties of iron-based recycled powder metallurgy parts and investigation of these properties by transverse rupture test, *Modares Mechanical Engineering*, Vol. 14, No. 1, pp. 149-157, 2014. (In Persian)
- [10] H. Abdollahi, R. A. Mahdavinejad, R. Panahi, M. Ghambari, M. Morad, Investigation and optimization of properties of sintered iron/recycled grey cast iron powder metallurgy parts, *Engineering Manufacture*, Revised article, Published online, DOI: 10.1177/0954405414535579, 2014.
- [11] R. M. German, *Powder metallurgy science*, Translated by M. Haerian Yazdi, 1st Ed., Mashhad: Daneshgah Ferdosi Mashad, 2006. (In Persian)
- [12] A. Salak, M. Selecka, H. Danner, *Machinability of Powder Metallurgy Steels*, 1st Ed., England: CISP, 2005.
- [13] A. Salak, K. Vasilko, M. Seleck, H. Danner, New short time face turning method for testing the machinability of PM steels, *Materials Processing Technology*, Vol. 176, pp. 62-69, 2006.
- [14] A. A. Bomont, M. Confente, E. Schneider, O. Bomont, C. Lescalier, Machinability in drilling mechanistic approach and new observer development, *Material Forming*, Vol. 3, pp. 495-498, 2010.
- [15] E. R. Perron, C. Blais, S. Pelletier, Y. Thomas, Drilling of high quality features in green powder metallurgy components, *Materials Science and Engineering A*, Vol. 458, pp. 195-201, 2007.
- [16] M. Czampa, S. Markos, T. Szalay, Improvement of drilling possibilities for machining powder metallurgy materials, *46th CIRP Conference on Manufacturing Systems*, Setubal, Portugal, pp. 288-293, 2013.
- [17] A. I. Khuri, J. A. Cornell, *Response Surfaces Design and Analysis*, 2nd Ed., New York: Marcel Dekker, 1996.
- [18] D. Chatterjee, B. Oraon, G. Sutradhar, P. K. Bose, Prediction of hardness for sintered HSS components using response surface method, *Materials Processing Technology*, Vol. 190, pp. 123-129, 2007.
- [19] D. C. Montgomery, *Design and Analysis of Experiments*, 3rd Ed., New York: John Wiley & Sons, 1991.
- [20] ASTM Standard B 213-97, *Flow rate of metal powders*.
- [21] ASTM Standard B 212-99, *Apparent density of free flowing metal powders using the hall flowmeter funnel*.
- [22] ASTM Standard B 331-95, *Compressibility of metal powders in uniaxial compaction*.
- [23] E. R. Perron, C. Blais, Y. Thomas, S. Pelletier, M. Dionne, An integrated approach to the characterization of powder metallurgy components performance during green machining, *Materials Science and Engineering A*, Vol. 402, pp. 325-334, 2005.
- [24] T. Childs, K. Maekawa, T. Obikawa, Y. Yamane, *Metal Machining: Theory And Applications*, 1st Ed., Great Britain: Arnold, 2000.

پودر چدن خاکستری آسیاب پاششی شده حاصل از بازیابی براده به پودر آهن تجاری جهت تولید قطعات متالورژی پودر را بیش از بیش تقویت می‌کند.
 4- در سوراخکاری قطعات تف جوشی شده ترکیب چدن آسیاب پاششی آهن، زبری سطح زیر 1 میکرون به راحتی قابل دستیابی است.
 5- تأثیرهای تراکم بالاتر، بیشتر و محسوس‌تر است.
 6- زمان تف جوشی کمترین تأثیر را بر روی قابلیت ماشینکاری این دسته از قطعات دارد.

6- مراجع

- [1] H. H. Hausner, M. K. Mal, *Handbook of Powder Metallurgy*, 2nd Ed., New York: Chemical Pub. Co. Inc., 1982.
- [2] P. Kjeldsteen, Recycling of cast iron swarf by the powder metallurgy technique, *Materials in Engineering*, Vol. 3, pp. 335-340, 1982.
- [3] A. T. Mamedov, A. A. Guliev, Production of powder from cast-iron chips and the features of preparation of parts from them, I: Production of powder, their structure, and properties, *Powder Metallurgy and Metal Ceramics*, Vol. 7, pp. 508-512, 1989.
- [4] D. A. Karandikar, Processing of cast iron scrap from the diesel engine manufacturing industry by powder metallurgy techniques, *Resources Conservation and Recycling*, Vol. 5, pp. 61-71, 1991.
- [5] M. L. Parucker, C. E. Costa, Study of the recycling grey cast iron swarf by powder metallurgy: an alternative for the development of new materials, *Materials Science Forum*, Vol. 53, pp. 3-9, 2006.
- [6] M. Ghambari, M. Emadi Shaibani, N. Eshraghi, Production of grey cast iron powder via target jet milling, *Powder Technology*, Vol. 221, pp. 318-324, 2012.
- [7] M. Emadi Shaibani, M. Ghambari, Characterization and comparison of grey cast iron powder produced by target jet milling and high energy ball milling of machining scraps, *Powder Technology*, Vol. 212, pp. 278-283, 2011.
- [8] H. Abdollahi, R. A. Mahdavinejad, M. Ghambari, M. Moradi, Investigation of green properties of iron/jet milled grey cast iron compacts by response surface method, *Engineering Manufacture*, Vol. 228, No. 4, pp. 493-503, 2014.